Distribution quasi-stationnaire et notions associées pour mieux appréhender l'adaptation des populations soumises à la transformation de leur environnement

Aurélien Velleret

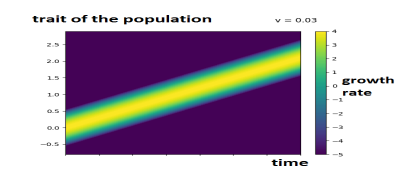
LAMA, Université Gustave Eiffel aurelien.velleret@nsup.org

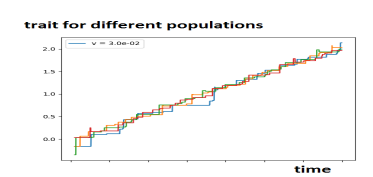
6 avril 2022



Le modèle de l'optimum mobile

Taux de croissance décroissante avec la distance à un optimum mobile Profil en translation à vitesse v





Pour simplifier, les populations seront supposées homogènes à tout instant t :

- ⇒ a priori plus adapté aux populations asexuées
- ⇒ temps de fixation négligé



Un couplage entre les dynamiques écologiques et évolutives

$$\left\{ \begin{aligned} X_t &= x - v \ t + \sum_{T_i \leq t} W_i, \\ &\text{l'écart à l'optimum mobile} \\ N_t &= n + \int_0^t \left(r(X_s) \ N_s - c_p \ (N_s)^2 \right) ds + \sigma \int_0^t \sqrt{N_s} \ dB_s, \\ &\text{la taille de la population} \\ &\text{tant que } t \leq \tau_\partial, \end{aligned} \right.$$

où l'extinction de la population est naturellement définie par $\tau_{\partial} := \inf\{t, N_t = 0\}$:



- $(X_t)_{t\geq 0}$: écart à l'optimum \Rightarrow translation à vitesse v sans mutations
- Fixation des mutations régie par un processus ponctuel :
 - Taux de fixation d'une mutation $W \in dw \ (X_{t-} \to X_{t-} + W) :$ produit $f(N_t) \times g(X_{t-}, w) \times \nu(dw)$

```
u(dw): profil des mutations pour un individu g(X_{t^-},w): probabilité de fixation f(N_t): taux d'apparition d'une mutation dans la population entière \to f(n) = C n est un choix naturel
```

Processus de Markov : pas d'autre dépendance dans le passé
 ⇒ Processus ponctuel de Poisson



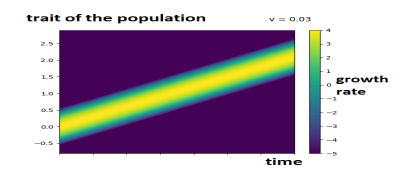
Une dynamique écologique, mais pourquoi?

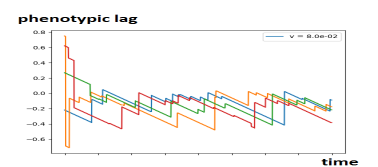
- Extinction plus probable pour une population mal-adaptée
 - ⇒ Un deuxième niveau de sélection naturelle car seules les populations survivantes sont considérées
- Une taille de population plus réduite pour une population maladaptée
 - ⇒ moins de mutations
 - \Rightarrow premier niveau de sélection naturelle ralenti

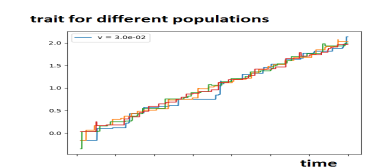
Caractériser le seuil de perturbations à partir duquel la population est incapable de s'adapter?

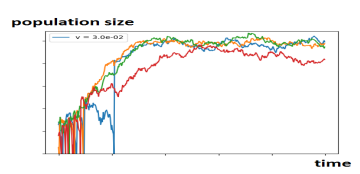


Un exemple typique 3:











Distribution quasi-stationnaire et notions associées pour mieux appréhender l'adaptation des populations soumises à la transformation de leur environnement

travail de thèse en collaboration avec Michaël Kopp et Etienne Pardoux







Sommaire

Quasi-stationnarité

Cadre générique Pour le modèle d'adaptation

Résultats de simulations

Profils

Q-processus et effet de l'extinction Grandes déviations de la mesure empirique

Eléments de preuve

Le formalisme général

Comparaison asymptotique de survie



Sommaire

Quasi-stationnarité

Cadre générique Pour le modèle d'adaptation

Résultats de simulations

Profils

Q-processus et effet de l'extinction Grandes déviations de la mesure empirique

Eléments de preuve

Le formalisme général Comparaison asymptotique de survi



De quelle quasi-stationnarité est-il question?

Nous allons pouvoir être plus précis que :

$$\mathbb{P}_{x,n}((X_t,N_t)\in(dx',dn'),\ t< au_\partial)\sim e^{-\lambda t}h(x,n)\,\alpha(dx',dn').$$

Convergence exponentielle en variation totale!

Il existe h positive bornée sur $\mathcal{X} \times \mathbb{R}_+$ et une mesure de probabilité α tels que $\int_{\mathcal{X} \times \mathbb{R}_+} h(x,n) \alpha(dx,dn) = 1$ et

$$\sup_{x \in \mathcal{X}} \left\| e^{\lambda t} \, \mathbb{P}_{x,n}((X_t, N_t) \in (dx', dn'), \ t < \tau_{\partial}) - h(x, n) \, \alpha(dx', dn') \right\|_{TV} \leq C \, e^{-\gamma t}$$

cf Adaptation of a population to a changing environment under the light of quasi-stationarity



Propriétés à vérifier? 1/2

On repart des critères proposés dans mes preprints Unique Quasi-Stationary Distribution, with a possibly stabilizing extinction Exponential quasi-ergodicity for processes with discontinuous trajectories

On a recours à une décomposition de l'espace d'états, pour s'approcher de plus en plus des bords et de l'infini :

(A0_S) Décomposition de l'espace d'état

 $(\mathcal{D}_n)_{n\geq 1}$ définit une séquence de fermés emboîtés dans \mathcal{X} , au sens où $\forall n, \mathcal{D}_n \subset int(\mathcal{D}_{n+1})$.



Propriétés à vérifier? 2/2

- (A1) Mélange, par minoration locale du semi-groupe via une mesure de référence ζ (style Doeblin)
- (A2) Échappée des transitoires, éloignement du bord (par répulsion ou contre-absorption), à comparer à une estimée de survie
- (A3) Comparaison asymptotique de survie,
- (A3_F) Absorption avec contrôle des échecs, pour se ramener à un contrôle d'événements sur une période de temps finie.



Dynamique évolutive

- $(X_t)_{t\geq 0}$: écart à l'optimum \Rightarrow translation à vitesse v sans mutations
- Fixation des mutations régie par un processus ponctuel :
 - Taux de fixation d'une mutation $W \in dw \ (X_{t-} \to X_{t-} + W) :$ produit $f(N_t) \times g(X_{t-}, w) \times \nu(dw)$

```
u(dw): profil des mutations pour un individu g(X_{t^-},w): probabilité de fixation f(N_t): taux d'apparition d'une mutation dans la population entière \to f(n) = C n est un choix naturel
```

Processus de Markov : pas d'autre dépendance dans le passé
 ⇒ Processus ponctuel de Poisson



Un couplage entre les dynamiques écologiques et évolutives

$$\left\{ \begin{aligned} X_t &= x - v \ t + \sum_{T_i \leq t} W_i, \\ &\text{l'écart à l'optimum mobile} \\ N_t &= n + \int_0^t \left(r(X_s) \ N_s - c_p \ (N_s)^2 \right) ds + \sigma \int_0^t \sqrt{N_s} \ dB_s, \\ &\text{la taille de la population} \\ &\text{tant que } t \leq \tau_\partial, \end{aligned} \right.$$

où l'extinction de la population est naturellement définie par $\tau_{\partial} := \inf\{t, N_t = 0\}$:

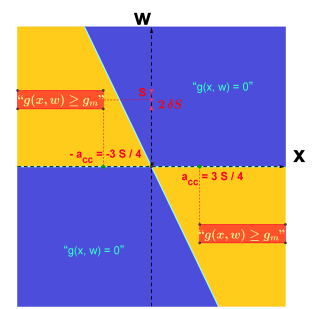


- Probabilité positive pour toutes les mutations potentielles de se fixer : g(x, w) > 0
- $r(x) \to -\infty$ avec $||x|| \to \infty$ (suffisamment faible devrait suffire en pratique, même en restant positif)
- conditions de régularité
- des bornes inférieures pour f, g et ν
 pour garantir l'apparition de mutations d'effet donné et rendre diffuse la loi de l'écart phénotypique
- succession ordonnée de temps de sauts : le plus simple avec g bornée par 1, ν mesure de proba (extension : accumulation de sauts?)



Conditions suffisantes 2/2

- Seules les mutations avantageuses sont fixées : $|x + w| > |x| \Leftrightarrow g(x, w) = 0$, sinon g(x, w) > 0
- les autres hypothèses sont identiques
- * Toujours valable pour toute vitesse v > 0





Sommaire

Quasi-stationnarité

Cadre générique Pour le modèle d'adaptation

Résultats de simulations

Profils

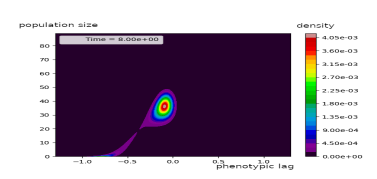
Q-processus et effet de l'extinction Grandes déviations de la mesure empirique

Eléments de preuve

Le formalisme général Comparaison asymptotique de survi



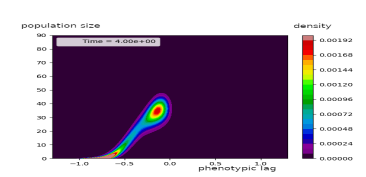
Profils de DQS lpha

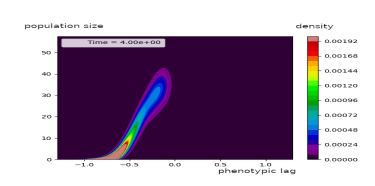


$$\mathbb{P}_{(x,n)}[(X,N)_t \in (dx,dn) ; t < \tau_{\partial}]$$

$$\underset{t}{\Rightarrow} \alpha(dx,dn)$$

Adaptation spontanée



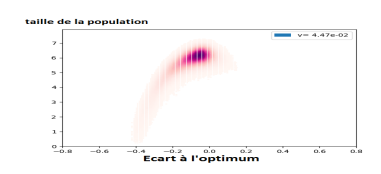


Régime intermédiaire

pseudo-adaptation : sélection par l'extinction

Profils de DQS lpha

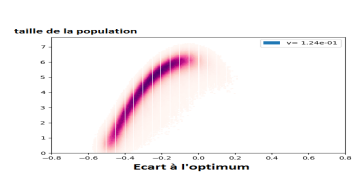
En reprenant la probabilité d'invasion sans effet de taille de population.

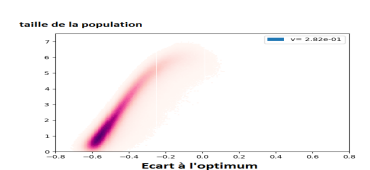


$$\mathbb{P}_{(x,n)}[(X,N)_t \in (dx,dn) ; t < \tau_{\partial}]$$

$$\underset{t}{\Rightarrow} \alpha(dx,dn)$$

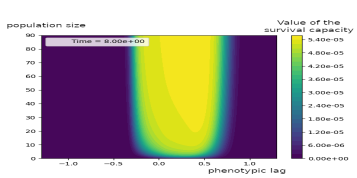
Adaptation spontanée





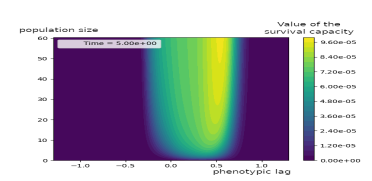


Profils de la "capacité de survie"



$$h(x, n) := \lim_{t \to \infty} \frac{\mathbb{P}_{(x, n)}(t < \tau_{\partial})}{\mathbb{P}_{\alpha}(t < \tau_{\partial})}$$

Adaptation spontanée



POPULATION SIZE

***DISTRIBUTION SIZE**

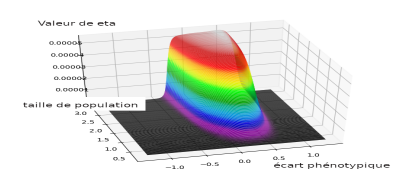
***DISTRIBUTI

Régime intermédiaire

pseudo-adaptation : sélection par l'extinction

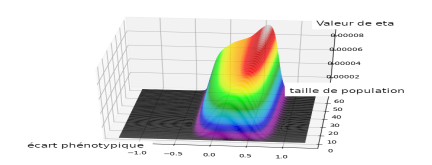


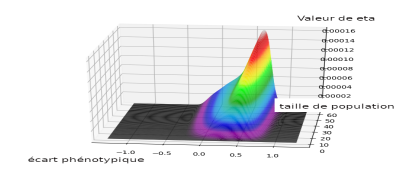
Profils 3D de la "capacité de survie"



$$h(x,n) := \lim_{t \to \infty} \frac{\mathbb{P}_{(x,n)}(t < au_{\partial})}{\mathbb{P}_{lpha}(t < au_{\partial})}$$

L'extinction améliore peu l'adaptation ici





Régime intermédiaire

pseudo-adaptation : sélection par l'ex-@ 👵 🕲

Q-processus

Existence du Q-processus :

Il existe une famille $(\mathbb{Q}_{\mu})_{\mu\in\mathcal{M}_1(\mathcal{X} imes\mathbb{R}_+)}$ de probabilités sur Ω définie par :

$$\lim_{t o\infty}\mathbb{P}_{\mu}(\mathsf{\Lambda}_{\mathsf{s}}\;\;;\;\;t< au_{\partial})=\mathbb{Q}_{h_*\mu}(\mathsf{\Lambda}_{\mathsf{s}})$$

pour tout Λ_s \mathcal{F}_s -mesurable.

où
$$h_*\mu(dx):=rac{h(x)}{\langle \mu\mid h
angle}\mu(dx).$$



Convergence du Q-processus

Unique distribution stationnaire $\beta := h_*\alpha$ i.e. $\beta(dx, dn) = h(x, n) \alpha(dx, dn)$.

Convergence pour le Q-processus

Avec le même $\zeta > 0$:

$$\forall \mu \in \mathcal{M}_1(\mathcal{X} \times \mathbb{R}_+), \ \exists C(\mu) > 0, \ \forall \ t > 0,$$
$$\|\mathbb{Q}_{h_*\mu}((X_t, N_t) \in (dx, dn)) - \beta(dx, dn)\|_{TV} \le C(\mu)e^{-\zeta t}$$

A priori, convergence non exponentielle pour le Q-process



Générateur du Q-processus

Caractérisation du générateur

 (X_t) de Markov sous \mathbb{Q}_x . Générateur Q_t t.q.

$$\langle \delta_x Q_t \mid \varphi \rangle = \frac{e^{\lambda t}}{h(x)} \langle \delta_x P_t \mid h \times \varphi \rangle$$



Pour le processus de départ :

$$\mathcal{L}\phi(n,x) := (r(x) - c n) n \partial_n \phi(n,x) + \frac{\sigma^2 n}{2} \partial_n^2 \phi(n,x) - v \partial_x \phi(n,x) + \int_{\mathbb{D}^d} \nu(dw) f(n) g(x,w) (\phi(n,x+w) - \phi(n,x)),$$

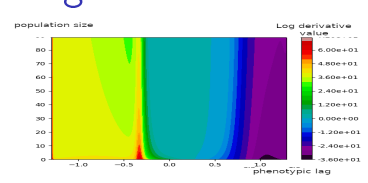
Pour le Q-process, sous conditions de régularités (encore à prouver) :

$$\mathcal{L}^{Q}\phi(n,x) := \left[(r(x) - c n) + \sigma^{2} \frac{\partial_{n} \log(h(n,x))}{\partial_{n} \phi(n,x)} \right] n \frac{\partial_{n} \phi(n,x)}{\partial_{n} \phi(n,x)} + \frac{\sigma^{2} \frac{n}{2} \partial_{n}^{2} \phi(n,x) - v \frac{\partial_{x} \phi(n,x)}{\partial_{x} \phi(n,x)} \right] + \int_{\mathbb{R}^{d}} \nu(dw) f(n) g(x,w) \frac{(n,x+w)}{h(n,x)} (\phi(n,x+w) - \phi(n,x)).$$

(via la formule sur Q_t et le fait que $\mathcal{L}^Q 1 = 0$)



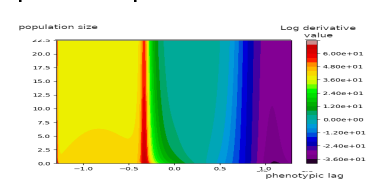
Log-dérivée selon x de la "capacité de survie"



$\partial_x \log(h(x,n)) = \frac{\partial_x h(x,n)}{h(x,n)}$

ici représentée.
$$h(x,n) := \lim_{t \to \infty} \frac{\mathbb{P}_{(x,n)}(t < \tau_{\partial})}{\mathbb{P}_{\alpha}(t < \tau_{\partial})}$$

Adaptation spontanée



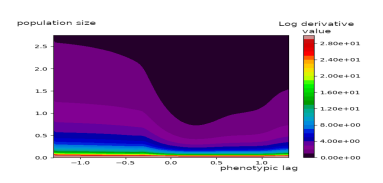
nonulation size Log derivative 15.0 10.0 ohenotypic lag

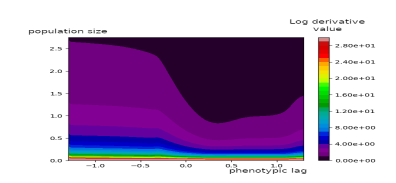
pseudo-adaptation : sélection Régime intermédiaire L'extinction



Log-dérivée selon $y \propto \sqrt{n}$ de la "capacité de survie"

Peu de différence selon v (flucuations démographiques rapides) $\partial_n \log(h(x,n)) = \frac{\partial_n h(x,n)}{h(x,n)}$ ici représentée.





Adaptation spontanée

pseudo-adaptation : sélection par l'extinction

On repère néanmoins que la zone d'adaptation favorable se voit renforcée!



Quasi-ergodicité pénalisée à la Feynman-Kac

$$\lambda^{(\mathit{cF})} = \lim_{t o \infty} rac{1}{t} \log \mathbb{E}_{\mu} \left[\exp(\mathit{ct} \left\langle \mathit{J}_{t} \mid \mathit{F} \right
angle
ight)$$
 , $t < au_{\partial}
brace$.

 $\psi_F(c)$ serait la valeur pour laquelle pour tout μ et $\epsilon>0$:

$$\lim_{t\to\infty} \mathbb{Q}_{\mu}^{(cF),t} \left[\left| \langle J_t \mid F \rangle - \psi_F(c) \right| > \epsilon \right] = 0,$$

où pour tout ensemble \mathcal{F}_t -mesurable Λ_t :

$$\mathbb{Q}_{\mu}^{(cF),t}\left[\Lambda_{t}\right] = \frac{\mathbb{E}_{\mu}\left[\exp[ct\left\langle J_{t} \mid F\right\rangle\right]; \ \Lambda_{t}, t < \tau_{\partial}\right]}{\mathbb{E}_{\mu}\left[\exp[ct\left\langle J_{t} \mid F\right\rangle\right]; \ t < \tau_{\partial}\right]}$$



La moyenne des sauts sous pénalisation

On peut relier $\psi_F(c)$ à $\alpha^{(cF)}$ (le QSD pénalisée), à $\eta^{(cF)}$ (la capacité de survie pénalisée), et au taux de sauts j(x, dy) de x à y par :

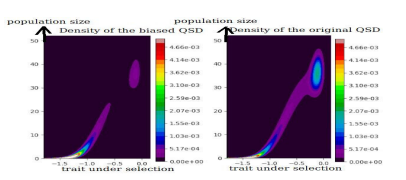
$$\psi_F(c) := \int_{\mathcal{X}} \alpha^{(cF)}(dx) \int_{\mathcal{X}} j(x, dy) \, \eta^{(cF)}(y) \, \exp[c \, F(x, y)] \, F(x, y).$$

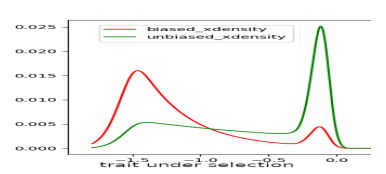


Exemple illustratif

$$F(x,y) = -6(y-x)$$
 si $y-x \in (0.05, 0.1)$, 0 sinon

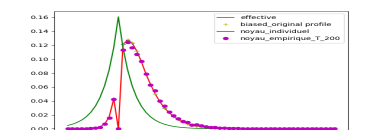
On voit clairement la déstabilisation du système, avec un taux d'extinction beaucoup plus important.

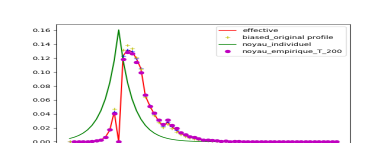




D'autre part, le profil des mutations semble presque inchangé.

Il semble donc que cette direction de déformation soit particulièrement coûteuse.



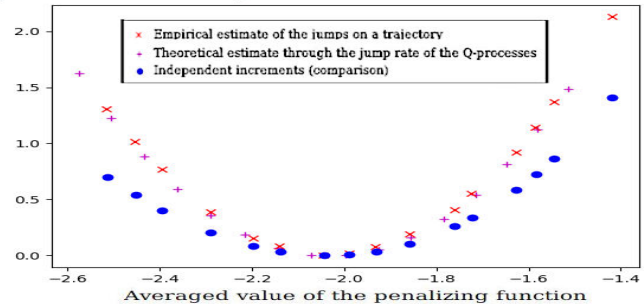




Comparaison avec des sauts indépendants

$$F(x,y) = -c(y-x)$$
 si $y-x \in (0.05,0.1)$, 0 sinon, pour différentes valeurs de c

Exponential rate of decay





Sommaire

Quasi-stationnarité

Cadre générique Pour le modèle d'adaptation

Résultats de simulations

Profile

Q-processus et effet de l'extinction Grandes déviations de la mesure empirique

Eléments de preuve

Le formalisme général Comparaison asymptotique de survie



Hypothèse 1

(A1) "Mélange"

Pour une mesure de probabilité $\zeta\in\mathcal{M}_1(\mathcal{X})$ (vue comme paramètre à ajuster) :

$$\forall n \geq 1, \quad \exists m > n, \ \exists t, \ c > 0, \quad \forall x \in \mathcal{D}_n,$$

$$\mathbb{P}_{x}(X_{t} \in dx ; t < \tau_{\partial}, \forall s \leq t, X_{s} \in \mathcal{D}_{m}) \geq c \zeta(dx).$$



Hypothèse 2

(A2) "Echappée d'un domaine transitoire "

Etant donné $ho >
ho_{\mathcal{S}}$, il existe $E \subset \mathcal{D}_{\ell}$ tel que, avec

$$au_{E} := \inf \left\{ t \geq 0 \; ; \; X_{t} \in E
ight\} :$$

$$\sup_{\{x \in \mathcal{X}\}} \mathbb{E}_{x} \left(\exp \left[\rho \left(\tau_{E} \wedge \tau_{\partial} \right) \right] \right) < \infty,$$

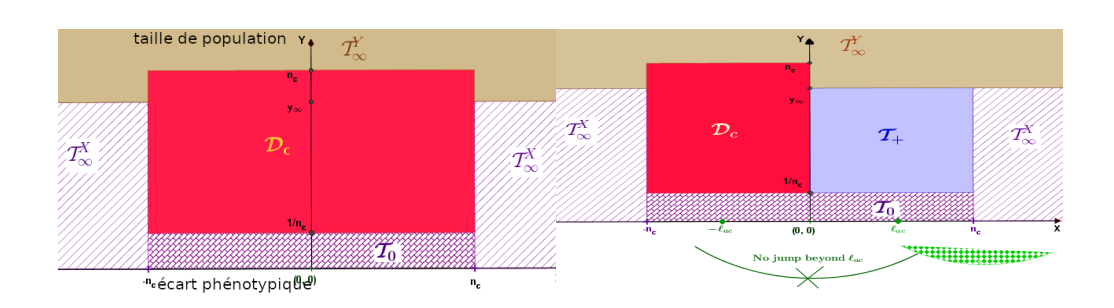
où nous définissons comme un taux de survie :

$$\rho_{\mathcal{S}} := \sup \left\{ \rho \geq 0 \; ; \; \sup_{L > 1} \liminf_{t > 0} \; e^{\rho t} \, \mathbb{P}_{\zeta}(t < \tau_{\partial} \wedge T_{\mathcal{D}_{L}}) = 0 \right\} \vee 0.$$

Contrôle des composantes de descente



Confinement par le déclin de population





Hypothèse 3

Comparaison asymptotique de la survie^{II}

$$\limsup_{t o \infty} \sup_{x \in \mathcal{D}_E} rac{\mathbb{P}_x(t < au_\partial)}{\mathbb{P}_\zeta(t < au_\partial)} < \infty$$

Grâce à cette estimation, à condition que T soit assez grand :

$$\mu A_t(dx) \ge d \times \zeta(dx) \Rightarrow \mu A_{t+T}(dx) \ge c d \times \zeta A_T(dx),$$

où $\mu A_t(dx) := \mathbb{P}_{\mu} (X_t \in dx \mid t < \tau_{\partial})$



(A3_F): "Absorption avec échecs"

Avec les notations précédentes ζ , E, et $\rho > \rho_S$:

$$\begin{split} \forall\, \epsilon \in (0,\,1), \; \exists\, t > 0, \; \exists\, c > 0, \quad \forall\, x \in E, \\ U = \infty, \; \mathbb{P}_{x}\text{-p.s. sur } \; \{t \wedge \tau_{\partial} \leq U\} \\ \text{avec } \mathbb{P}_{x}(t < \tau_{\partial} \wedge U) \leq \epsilon \; \exp(-\rho\, t) \\ \text{et pour un temps d'arrêt} V \; : \\ \mathbb{P}_{x}\big(X(U) \in \mathit{dx} \; ; \; U < t\big) \leq c\, \mathbb{P}_{\zeta}\big(X(V) \in \mathit{dx} \; ; \; V < \tau_{\partial}\big), \end{split}$$

+ des conditions de régularité de cette définition de U par rapport à x afin que la propriété de Markov puisse être satisfaite.



Preuve de la comparaison asymptotique de survie dans un modèle discret 1/2

$$\limsup_{t \to \infty} \sup_{x \in \mathcal{X}} \frac{\mathbb{P}_x(t < \tau_\partial)}{\mathbb{P}_\zeta(t < \tau_\partial)} < \infty?$$

Si le processus peut "facilement" atteindre un état x à partir de la condition initiale ζ , alors la survie depuis x entraîne la survie depuis ζ . Ainsi :

$$\limsup_{t o \infty} \sup_{x \in F} rac{\mathbb{P}_{x}(t < au_{\partial})}{\mathbb{P}_{\zeta}(t < au_{\partial})} < \infty.$$

est valide pour tout ensemble fini F.



- Idée 1 :Se ramener à un système découplé par la transformation de Girsanov en dehors d'un événement de probabilité assez faible ($\epsilon e^{-\rho t}$)
- Idée 2 : en adaptant les inégalités de Harnack mais dans un petit intervalle de temps, le cas sans saut n'est pas rare et dans un grand intervalle de temps, c'est le cas avec beaucoup de sauts n'est pas rare
- Idée 3 : en s'arrêtant au premier temps de saut, maintenant que l'indépendance avec le Brownien est obtenue!



Contrôle des irrégularités

On part d'une condition initiale après sortie du domaine transitoire, donc assez régulière.

En temps très court, on s'attend alors à pouvoir préserver une bonne régularité (pour les contrôles par Girsanov), c'est-à-dire :

- Pas de remontée rapide des moments (même conditionnellement à la dynamique de X_0)
- X_0 à une distance minorée de ses bords 0 et 1
- La descendance des types regroupés à l'instant initial vouée à rapidement disparaître
 - ⇒ perte de dépendance dans ces types (à une légère variation de densité près)



Sommaire

Quasi-stationnarité

Cadre générique Pour le modèle d'adaptation

Résultats de simulations

Profils

Q-processus et effet de l'extinction Grandes déviations de la mesure empirique

Eléments de preuve

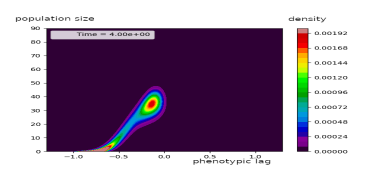
Le formalisme général Comparaison asymptotique de survie



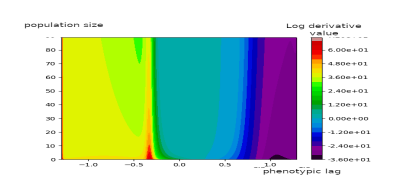
Perspectives à éclaircir

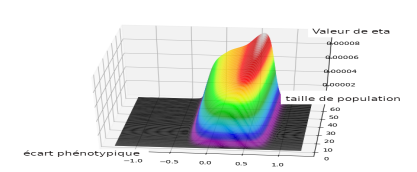
- Une notion de vitesse critique du changement environnemental grâce à la quasi-ergodicité:
 - Comparer le taux d'extinction (de la DQS) au taux de convergence (via les corrélations)
 - Idée : via la variance de h(X, N) où $(X, N) \sim \alpha(dx, dn)$
- Plus d'informations sur la dynamique du processus avec un horizon de survie
 - Étude de la dynamique du Q-processus ⇒ dérivés du logarithme de la capacité de survie
 - Etude de l'advenue de l'extinction par le processus de retour dans le temps passé ⇒ dérivées du logarithme de la DQS
 - Étude du profil des mutations maintenant la stabilité
 - ⇒ Contraintes de grande déviation données par les modèles pénalisés de Feynman-Ka





Je vous remercie pour votre attention!







Generallement sur les DQS :

- Champagnat N and Villemonais D, Exponential convergence to quasi-stationary distribution and Q-process.
 - Probab. Theory and Rel. Fields, 164:243-283 (2016)
- Champagnat, N., Villemonais, D.; Lyapunov criteria for uniform convergence of conditional distributions of absorbed Markov processes, preprint on ArXiv: arxiv.org/abs/1704.01928 (2017)
- Champagnat, N., Villemonais, D.; General criteria for the study of quasi-stationarity, preprint on ArXiv: arxiv.org/abs/1712.08092v1 (2017)
- Bansaye, V., Cloez, B., Gabriel, P., Marguet, A.; A non-conservative Harris' ergodic theorem, ArXiv:1903.03946 (2019)
- Ferré, G., Rousset, M., Stoltz, G.; More on the long time stability of Feynman-Kac semigroups; Stoch PDE: Anal Comp (2020)

Sur les versions précédentes du modèle d'adaptation (sans la taille de population) :

Kopp M and Hermisson J; The genetic basis of phenotypic adaptation II: The distribution of adaptative substitutions of the moving optimum model. Genetics 183: 1453-1476 (2009)

Kopp, M., Nassar, E., Pardoux, E; Phenotypic lag and population extinction in the moving-optimum model: insights from a small-jumps limit. J. Math. Biol. 77(5): 1431. (2018)

Nassar, E. Pardoux, E; On the large-time behaviour of the solution of a stochastic differential equation driven by a Poisson point process. Advances in Appl. Probab., 49(2), 344-367. (2017)

Nassar, E, Pardoux, E; Small jumps asymptotic of the moving optimum Poissonian SDE. To appear in Stochastic Processes and Appl. (2017)



References 3

Mes articles sur les DQS

- Velleret, A.; Unique Quasi-Stationary Distribution, with a stabilizing extinction, preprint available on ArXiv at: https://arxiv.org/abs/1802.02409
- Velleret, A.; Exponential quasi-ergodicity for processes with discontinuous trajectories, preprint available on ArXiv at: https://arxiv.org/abs/1902.01441
- Velleret, A.; Adaptation of a population to a changing environment under the light of quasi-stationarity, preprint available on ArXiv at: https://arxiv.org/abs/1903.10165
- Velleret, A.; Two level natural selection under the light of Quasi-Stationary Distributions, preprint available on ArXiv at: https://arxiv.org/abs/1903.10161
- Mariani, M., Pardoux, E., Velleret, A.; Metastability between the clicks of the Müller ratchet; preprint on ArXiv: 2007.14715 (2020)

